

III-70 泥炭の乾燥特性と間隙径分布について

防衛大学校 (学) 小田 美明

" (正) 木暮 敬二

" (正) 山口 晴幸

No.	Symbol	Sample	w_0 (%)	Lig (%)	W_0 (gf)	D_0 (mm)	H_0 (mm)	V_0 (ml)	Dry condition
1	●		911.6	82.2	17.50	35.05	19.77	19.08	凍結真空乾燥
2	○		527.1	76.5	16.18	35.03	18.63	17.95	Temperature $T = -109^{\circ}\text{C}$
3	○	泥炭	731.3	78.9	15.96	35.25	17.28	16.86	Degree of vacuum -74 mm Hg
4	○		857.6	80.2	11.30	35.63	12.75	12.79	
5	○		475.6	75.3	14.37	35.55	15.75	16.09	
6	△	泥炭+木片	859.2	-	6.81	-	-	-	
7	▲	木片	948.4	-	3.25	-	-	-	
8	□	泥炭	291.5	70.4	19.74	35.50	20.35	19.02	自然気乾燥 $T = 18\sim20^{\circ}\text{C}$
9	■		331.3	72.5	14.49	34.60	13.90	13.07	
10	□	泥炭+水	406.0	76.1	20.29	34.18	20.13	18.47	炉乾燥 $T = 110^{\circ}\text{C}$
11	+	水	-	-	11.44	-	-	11.44	凍結真空乾燥: $T = -109^{\circ}\text{C}, -74 \text{ mm Hg}$

子等の実質部分間の間隙(マクロ孔) w_0 =initial water content, Lig=ignition loss, W_0 =initial weight, D_0 =initial diameter, H_0 =initial height, V_0 =initial volume.

表-1

3)から成る。そのため 図-1に示

すように 飽和泥炭に応力(P')を載
荷すると、両間隙の収縮に伴い水
り排出が起り、体積の変化が生じ
る。本文は 応力変化に伴う体積
変化をミクロ的立場から論じるために

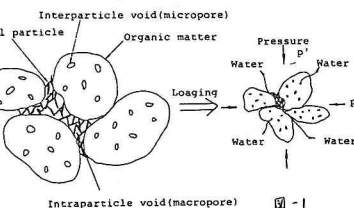


図-1

の基礎的資料を得ることを目的として 凍結真空乾燥、炉乾燥、自然気乾燥の3種類の乾燥過程における挙動とポロシメーターで測定した泥炭の間隙径分布について記述したものである。

2. 試料と乾燥条件

埼玉県大宮市郊外から採取した不規則泥炭試料(初期

間隙比 $e_0 \approx 8 \sim 12$, 強熱減量 $Lig \approx 70 \sim 85\%$)を用い、表-1

に示すように、直径 $D_0 \approx 35\text{mm}$ 、高さ $H_0 \approx 10 \sim 20\text{mm}$ に成形した円柱供試体と泥炭中に含まれていた木片および水を用いて3種の乾燥試験を実施した。No. 1~7とNo. 11については 温度 $T = -109^{\circ}\text{C}$ 、真空度-74 mmHg下での凍結真空乾燥(フリーズドライ)。No. 8とNo. 9では $T = 18 \sim 20^{\circ}\text{C}$ 下での自然気乾燥。No. 11では $T = 110^{\circ}\text{C}$ 下での炉乾燥を行った。なお No. 1, 3, 7では凍結真空乾燥後 110°C 下で炉乾燥した。

さらに、3種類の等方応力($P' = 52, 74, 103\text{kPa}$)下で圧縮した試料を自然気乾燥して、ポロシメーターにより間隙径分布の測定を行った。

3. 乾燥に伴う体積変化 ポロシメータ装置を用いて土の間隙径分布を測定するには あらかじめ試料が完全に乾燥状態にあることが

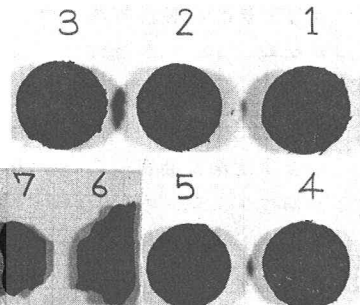


写真-1 サンプリング後成形した試料

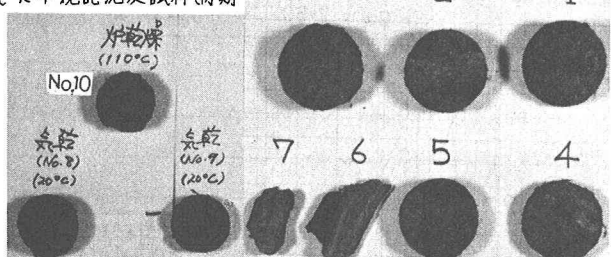
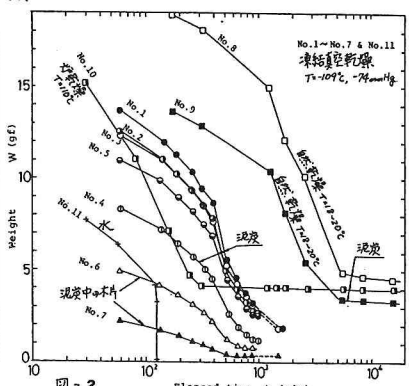
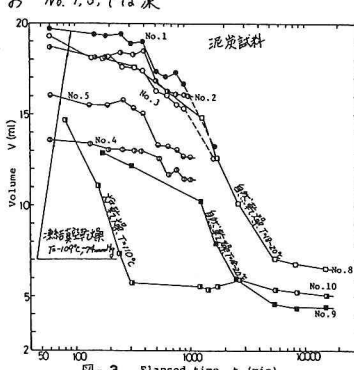


写真-2 凍結真空乾燥約17時間後



要求される。しかし、乾燥試料を炉乾あるいは自然気乾燥で準備する際には かなりの乾燥収縮を生じる、特に

初期間隙比の大きいボーラスな泥炭では、乾燥による収縮が著しい。ここでは、凍結真空乾燥下での収縮状況を上述の2種類の乾燥方法によるものと比較検討すると共に、極めて小さな体積変化の下で乾燥が進行することを明らかにする。写真-1は泥炭と木片の初期の形状で、写真-2は約1000分間凍結真空乾燥後、写真-3は炉乾および自然気乾後の形状を同一撮影距離から撮影したものである。また図-2と3は重量Wと体積Vの経時変化を、図-4と5は初期重量W₀および体積V₀で無次元化して示したものである。写真撮影の結果からも明らかなように、凍結真空乾燥法によると体積の変化が極めて小さい状態で水の蒸発が起り、乾燥していることがわかる。図-4と5によると、凍結真空乾燥下では重量変化は炉乾燥下、体積変化は自然気乾燥下での挙動に類似している。ただ初期過程において、体積の膨張傾向が見られる。これは試料中の水が一端氷に変化するために生じる体積変化によるものと考えられる。また、凍結乾燥法によると約10gの水は、120分程度で完全に蒸発するが同程度の水分量(約7~15g)を含む泥炭あるいは木片ではその10倍程度の時間を要している。これは、水と実質部分(有機物と土粒子)との界面化学的作用によるものと推測される。なおNo.1(●)とNo.3(○)の泥炭とNo.7(△)の木片は凍結真空乾燥後110°Cで約1000分間炉乾燥しており、その乾燥変化を破線で示している。木片では、炉乾燥による変化はほとんど見られないが、泥炭では8%程度の体積変化を生じている。この原因については明確でない。図-6は体積Vは実質部分の体積V_sで無次元化して含水比w_sとの関係でプロットした収縮曲線を示したものである。直線の勾配として定義される収縮率は、凍結真空乾燥では極めて小さく、この結果からも極めて小さな体積変化の下で乾燥されていることがわかる。

図-7 間隙径分布 サンプリング直後

の試料(PM-6)と等方応力(p') 52, 74, 103 kPa下で圧縮した試料を自然気乾燥して準備し、ボロメータ装置により水銀を圧入することによって間隙径分布を測定した結果が図7~10に示してある。本結果は圧縮による間隙径の変化に加え、上述したように乾燥によるかなりの収縮量を含んでいると考えられるが、図-9と10の結果から明らかのように、圧縮に伴う間隙径分布に明瞭な変化が現われていることがわかる。今後、凍結真空乾燥法により試料を準備し、乾燥に伴う間隙径の変化を調べると共に、圧縮あるいはせん断に伴う体積変化を間隙径分布の変化からうえ、泥炭の体積変化挙動をミクロ的立場から考察していきたい。

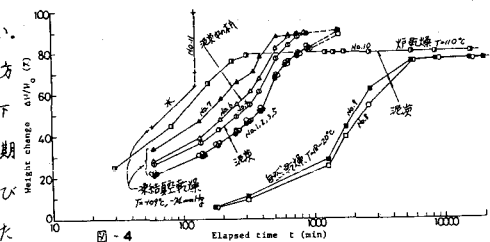


図-4

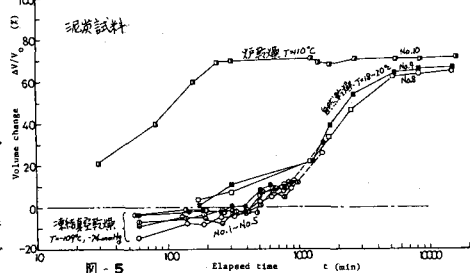


図-5

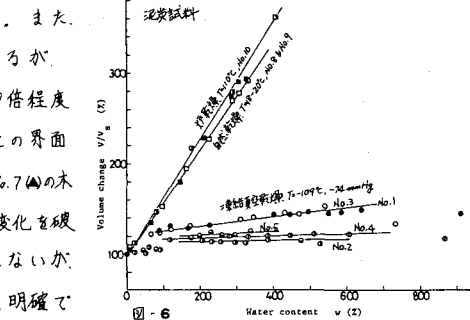


図-6

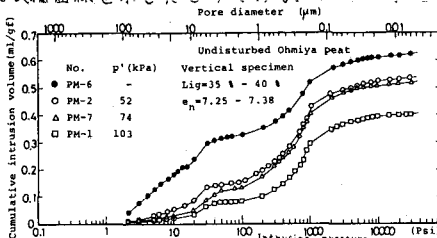


図-7

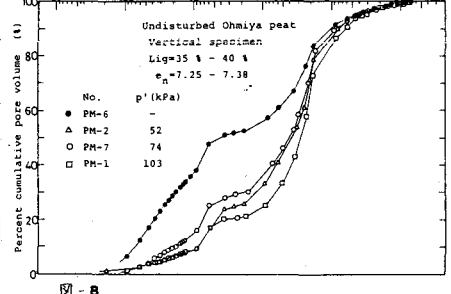


図-8

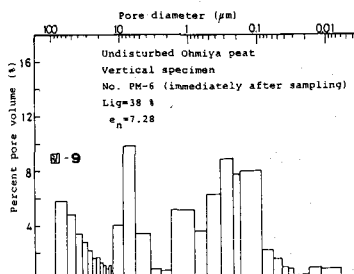


図-9

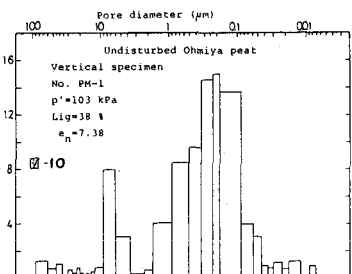


図-10